

II-219 嫌気性消化のメタン生成相に及ぼす滞留時間とpHの影響について

神奈川県 正員 高尾 治海
 東北大学 正員 松本 順一郎
 東北大学 正員 野池 達也

1. はじめに

嫌気性消化は、有機酸を生成する酸生相と、有機酸をメタンガスまでに分解するメタン生成相から成り立っている。メタン生成相は、その小さな増殖速度や温度、pH等の環境因子に対し敏感であるためにプロセスの律速段階となつておる、この段階を最適条件で操作することにより嫌気性消化の効率化が可能となる。本研究は、メタン生成相について単一有機炭素源として酢酸を用い、滞留時間と増殖速度の関係を考察し、更にpHを6に制御することにより低pHがメタン生成菌に及ぼす影響を連続実験により求めた結果を比較検討したものである。

2. 実験装置及び方法

実験装置は図-1に示すような連続流完全混合槽を用い温度は35±1℃に設定した。基質は表-1に示すような組成をもちpHは重炭酸塩の緩衝能によりほぼ7.2に維持され、またpH=6の系では塩酸により調節した。分析は、pH、揮発性脂肪酸濃度すなわちここでは酢酸濃度、アルカリ度、ガス発生量、ガス組成、MLSS、MLVSSについて行なった。

3. 結果及び考察

表-2にpH7.2及びpH6の連続実験から得られた定常値を示す。TEI Run 9, 11, 17はwashoutにより定常値は得られていない。滞留時間の長いRunの例を $\theta = 15.4\text{日}$ について図-2に示す。短い滞留時間の例を $\theta = 3.68\text{日}$ について図-3に示す。pH制御系

の例としては、 $\theta = 6.44\text{日}$ の経日変化を図-4に示す CH_4 濃度。更に各定常値を図-5に示した。図よりpH7.2では希釈率の増加によってMLVSS、酢酸濃度は増加しがガス発生量とメタン発生量は負荷速度に比例した。pH6の系では負荷速度、ガス発生量、メタン生成量は、pH7.2と同様の傾向を示しているが、MLVSSは、 $D = 0.08\text{日}^{-1}$ 、すなわち滞留時間13日に於いて最大となり更にDの増加により減少傾向を示した。酢酸濃度は、20~50 mg/l と低い値を示し $\theta = 3.68\text{日}$ では200 mg/l となりpH7.2における同一滞留時間における濃度の1/3から1/4となり基質除去効率の面からは望ましい現象であることを示している。メタン生成菌は形態学上大きく二種類に分けられ一方はMethanobacteriumとよばれる桿菌状

表-1 基質組成

酢酸	20,000 mg/l
$(\text{NH}_4)_2\text{HPO}_4$	700 mg/l
NH_4Cl	850 mg/l
KCl	750 mg/l
$\text{MgSO}_4 \cdot 7\text{H}_2\text{O}$	250 mg/l
$\text{MgCO}_3 \cdot 6\text{H}_2\text{O}$	810 mg/l
$\text{FeCl}_3 \cdot 6\text{H}_2\text{O}$	420 mg/l
$\text{CaCl}_2 \cdot 6\text{H}_2\text{O}$	18 mg/l
NaHCO_3	6,720 mg/l

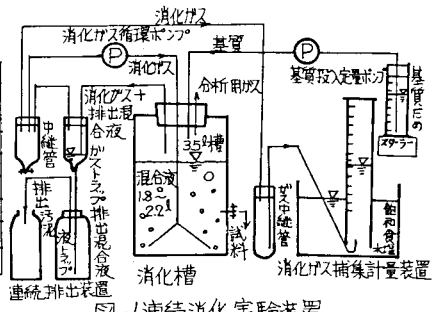


図-1 連続消化実験装置

表-2
連続消化実験の定常値

R	実験条件	CH_4 生産量	VFA	pH	TAS	MLSS
n	θ	D	(%)	(%)	(mg/l)	(mg/l)
1	16.17	0.012	42.7	5.6	7.18	4044 293
2	15.42	0.015	48.6	4.5	7.19	3670 407
3	12.70	0.019	55.1	1.6	7.28	3813 321
4	11.94	0.024	—	20.8	7.34	3756 235
5	10.09	0.099	—	25.0	7.38	2505 251
6	8.56	0.117	86.8	1.6	7.12	3581 192
7	6.50	0.154	140	20.1	7.14	3544 627
8	3.96	0.252	170	69.6	7.08	3337 724
9	3.92	0.255	washout			
10	3.18	0.314	2126 1290	7.02	2807	962
11	1.97	0.508	washout			
12	1.00	0.059	44.8	24	6.01	246 405
13	0.23	0.076	33.8	50	6.01	346 739
14	0.02	0.111	23.0	22	5.99	273 730
15	6.44	0.155	1140	35	3.93	217 562
16	3.68	0.272	2082 199	60.7	342	400
17	2.93	0.341	wash out			

(注)VFAは揮発性脂肪酸濃度($\text{mg}(\text{CH}_3\text{COOH})$)
 TASはpH5におけるアルカリ度($\text{mg}(\text{CaO})$)

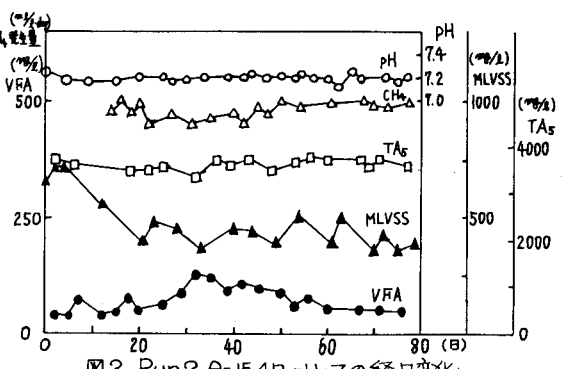


図2 Run 2 $\theta = 15.4\text{日}$ pH=7の経日変化

であり、他方は *Methanosaerina* とよばれる球菌状である。本実験においては pH 6 の全希釈率域にわたって *M. Sarcinata* が卓越してあり、pH 7.2 の系では $D > 0.1$ では *M. Sarcinata* 、それ以下では *M. bacterium* が優占種となり細菌相の遷移が見られた。図-6 に比消費速度 r を比較する。pH 7 においては D の増加に伴い 2 度々ピークを示したが、これは $D = 0.1$ 前後における細菌相の遷移によって生理代謝特性が変化することにより生じた現象であると考えられる。また pH 6 の系では希釈率の増大に伴い急増していることから pH 7 と比較すると $D > 0.16$ では r を促進し、それ以下ではわずかに抑制していることが本実験結果により示された。図-7 には見かけの増殖収率 $Y_{X/S}$ と希釈率の関係を示してある。 $Y_{X/S}$ は pH 7 では D の増大に伴い増加し pH 6 では逆に $D = 0.1$ から低下の傾向を示している。比消費速度 r は(1)式により示され、それぞれの pH について最大比消費速度 r_m 及び r_m の $\frac{1}{2}$ における基質濃度 k_{Sv} は次のように求めた。ここで pH 6 における r_m が pH 7 における r_m の約 3.6 倍となっている。

$$r = \frac{\mu_m + S}{k_{Sv} + S} \quad (1)$$

$$\text{pH 7: } r_m = 6.45 \text{ %} \quad k_{Sv} = 360 \text{ mg/l}$$

$$\text{pH 6: } r_m = 23.3 \text{ %} \quad k_{Sv} = 143 \text{ mg/l}$$

pH 7 の系において、比増殖速度 μ は $\mu = Y_G r$ を仮定し定常状態の物質収支により(2), (3)式から Y_G , r_d が得られた。

ここで、 r_d : 比死滅速度(%) Y_G : 真の増殖収率である。

$$\mu - r_d = D \quad (2)$$

$$\mu = \frac{D}{Y_G} + \frac{r_d}{Y_G} \quad (3)$$

$Y_G = 0.075$, $r_d = 0.279$ (%) Monod 式は μ_m : 最大比増殖速度(%)、 $k_{Sv} = \frac{\mu_m}{2}$ における基質濃度とする(4)式により示され μ_m , k_{Sv} が求まる。

$$\mu = \frac{\mu_m S}{k_{Sv} + S} \quad (4)$$

$$\mu_m = 0.625 \text{ (%)} \quad k_{Sv} = 98 \text{ mg/l}$$

しかし、pH=6 の系では $Y_G < 0$ となり $Y_G = 0$ は決定されなかつたが理由として pH 8 制御により促進あるいは抑制作用が希釈率により異なり r_d , Y_G 一定とする仮定が成り立たないためと考えられる。

最後に本研究を進めるに当たり多大な協力をおいたいたいた、新東京国際空港公園。

小松明氏並びに東北大学学生 岩崎晃氏 図 6 r vs D の関係

に深く感謝いたします。(参考文献) 1) Lawrence and McCarty, J.W.P.C.F. vol.41 No.2 (1969) 2) 小松, 松本, 駒池, 第33回年譲(1978) 3) 高尾, 駒池, 岩崎, 55年度土木学会東北地方技術研究発表会

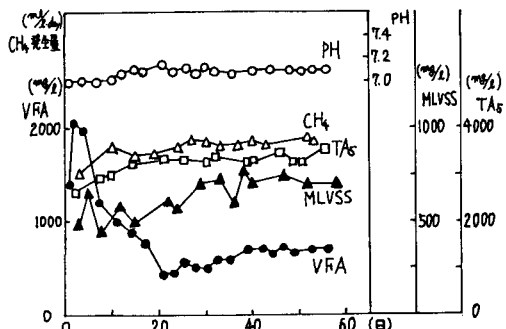


図3 Run 8 $\theta=3.96$ 日 pH=7の経日変化

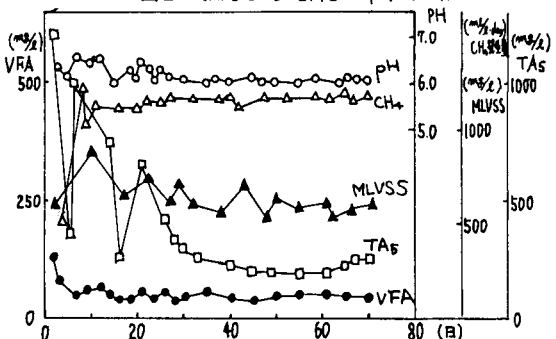


図4 Run 15 $\theta=6.44$ 日 pH=6の経日変化

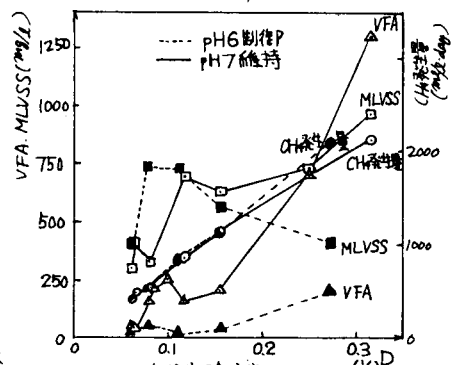


図5 連続実験定常値

